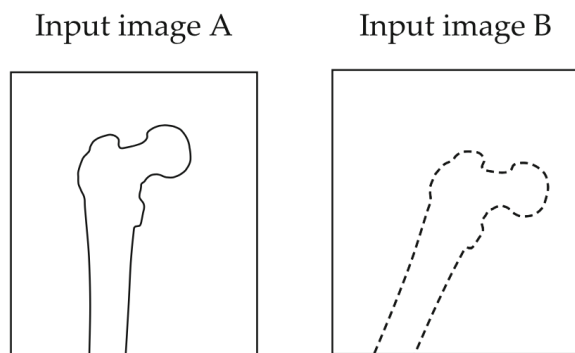


Navigazione e registrazione

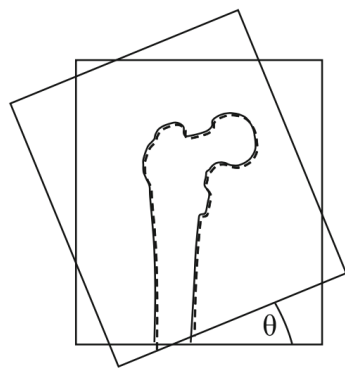
# Introduzione

- La pianificazione del moto fa affidamento sul calcolo dello Jacobiano per interpolare i parametri dei giunti lungo una traiettoria
- La definizione di tale traiettoria di moto e velocità nello spazio operativo del robot necessita di interazione col mondo esterno e in particolare di tecniche di *computer vision* e *image processing*
- Discuteremo in particolare di *calibrazione* e *registrazione* di immagini

# Principio della registrazione



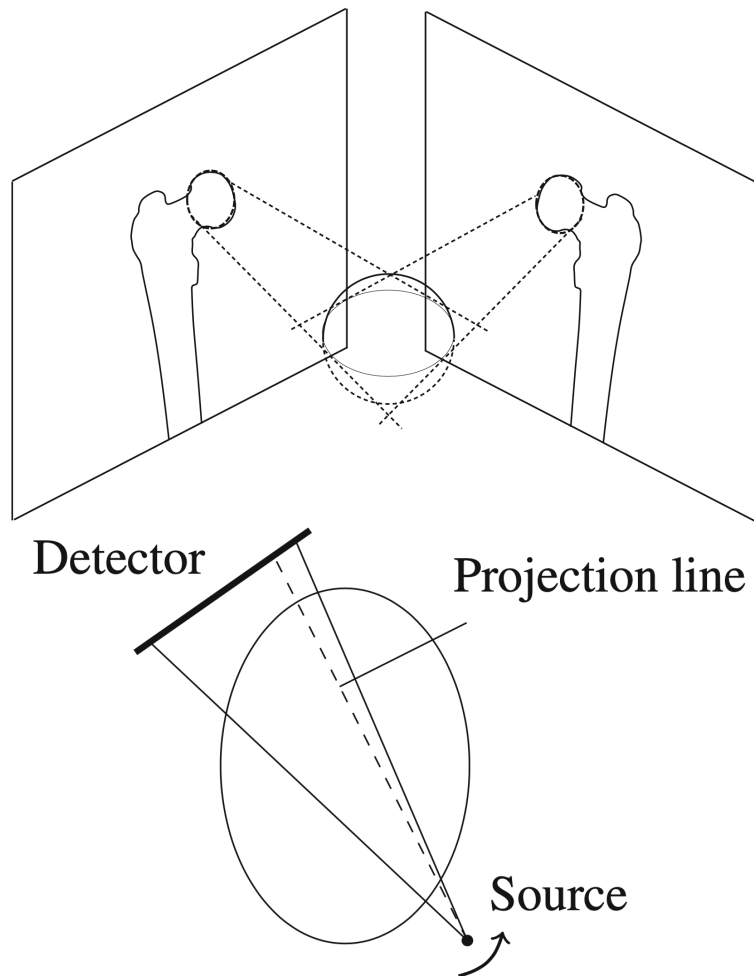
Tecniche per allineare diverse strutture, ad es. più viste di una RX oppure un robot e una telecamera



Output:  $\theta$ ,  $\Delta x$ ,  $\Delta y$

Individuare l'angolo  $\theta$  e lo scostamento  $\Delta x$ ,  $\Delta y$  per allineare le due viste

# Registrazione 2D-3D



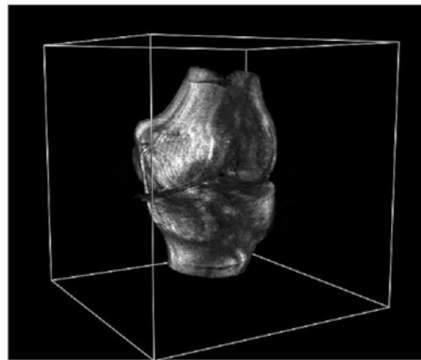
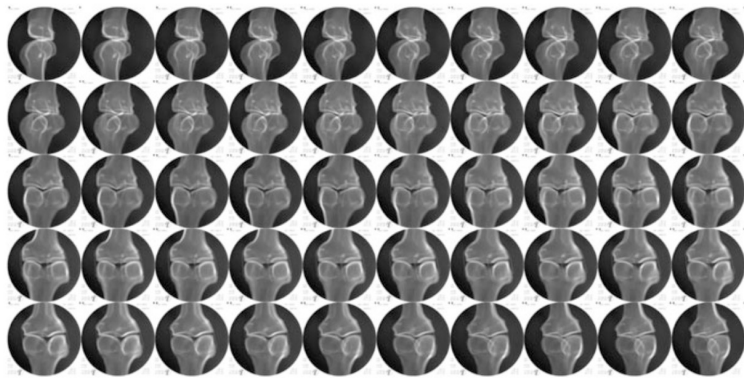
Supponiamo di prendere 2 immagini di un femore da 2 diverse posizioni fissate del C-Arm e mettiamo le 2 immagini nelle posizioni relative

Consideriamo i 2 coni che partono dalle 2 immagini del femore.

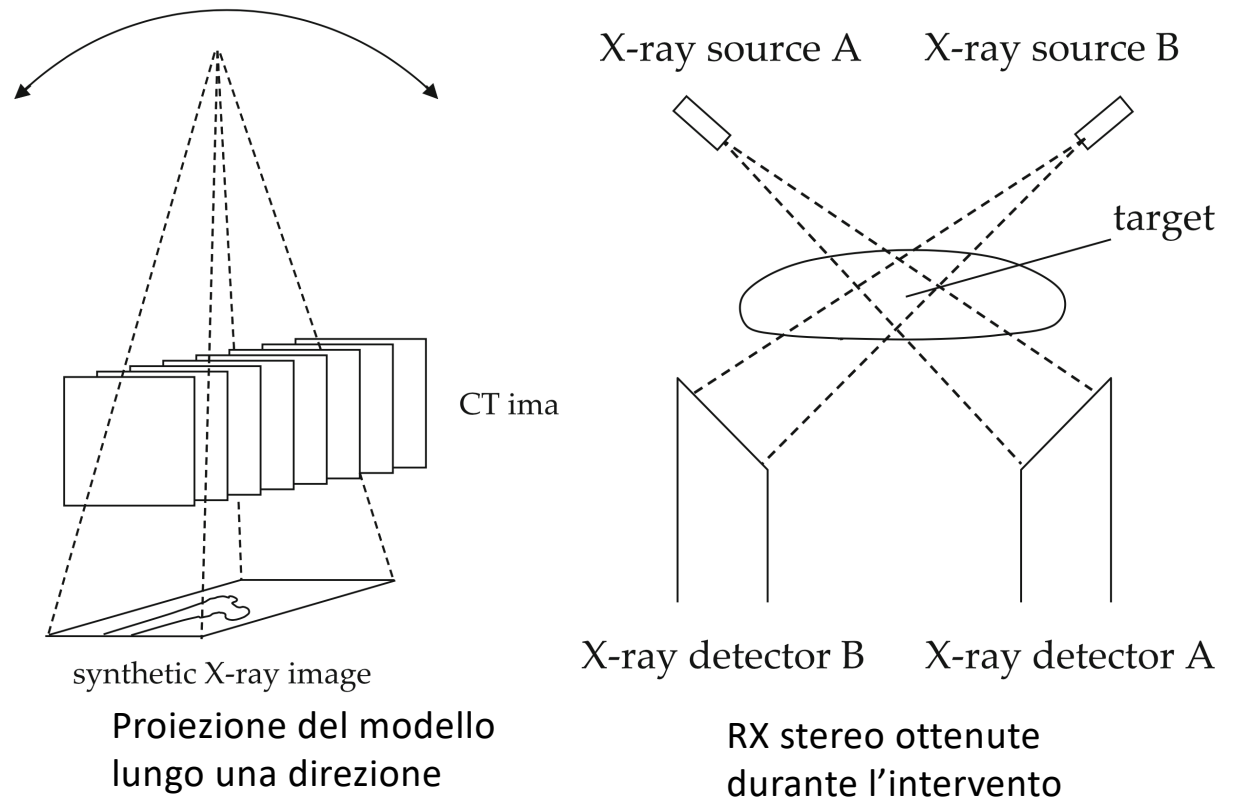
L'intersezione genererà la sfera ricostruzione 3D del femore.

Dobbiamo conoscere le *esatte posizioni nello spazio della sorgente e del rilevatore*

# Digitally Reconstructed Radiographs (DRR)

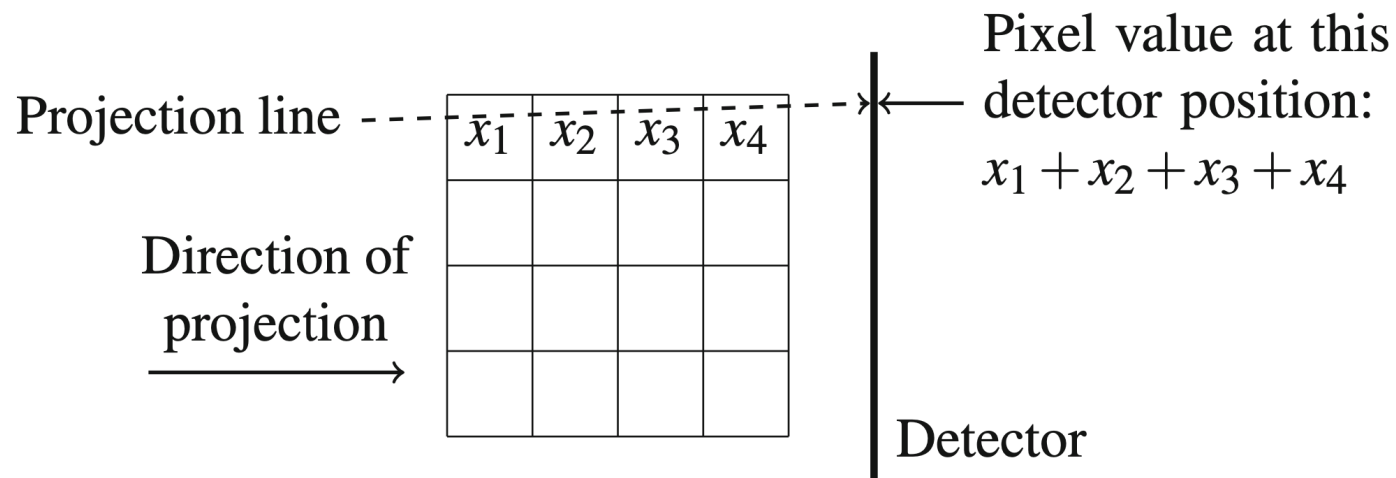


Modello 3D ricostruito dalla serie di RX 2D



Registrazione tramite sottrazione pixel a pixel:  
si ottiene un errore e si considera la coppia di DRRs con l'errore minimo

# TAC 3D da immagini RX



$x_1, x_2, \dots$  rappresentano i voxel (pixel in 3D) che devono essere determinati

Sono ripresi da diversi angoli (ricostruzione della TAC per backprojection)

$b_i$  rappresentano le attenuazioni dei raggi X in ogni pixel delle immagini RX 2D

La tecnica inversa (3D-2D) è nota anche come «Volume splatting»

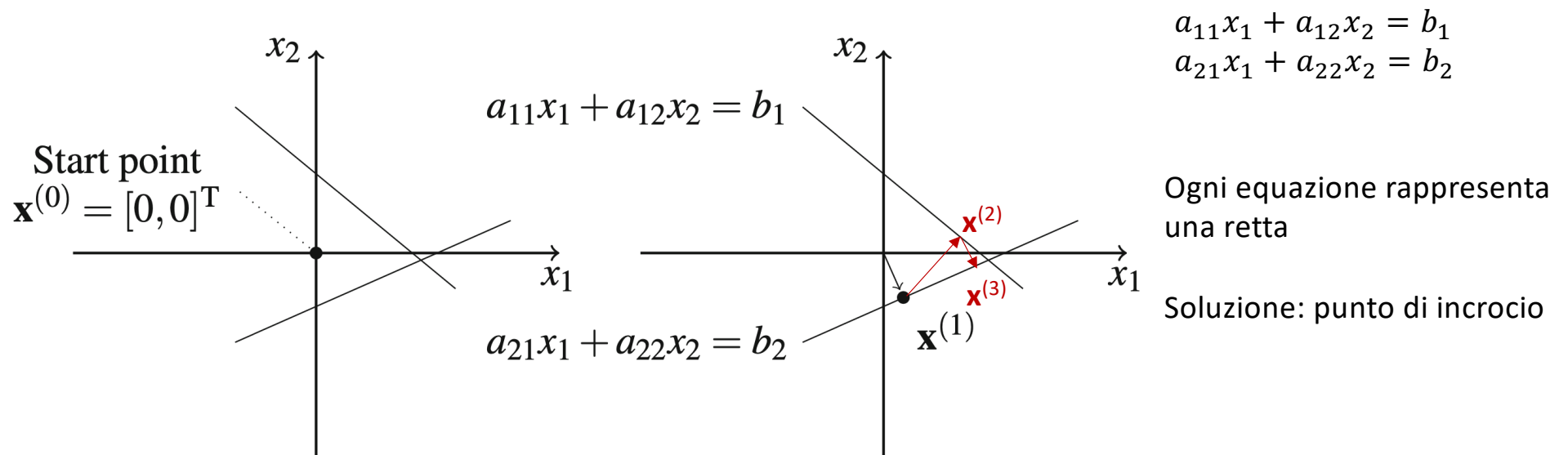
$$\begin{aligned} a_{11}x_1 + a_{12}x_2 + \dots + a_{1n}x_n &= b_1 \\ a_{21}x_1 + a_{22}x_2 + \dots + a_{2n}x_n &= b_2 \\ &\vdots \\ a_{m1}x_1 + a_{m2}x_2 + \dots + a_{mn}x_n &= b_m \end{aligned}$$

Dove  $a_{ij} = 1$  o  $0$  se il voxel si trova o non si trova nella direzione di proiezione del raggio

Sistema di  $m$  equazioni a  $n$  incognite con  $m \gg n$

# ART - Algebraic Reconstruction Technique

Esempio: 2 equazioni in 2 incognite



- Si proietta il punto  $\mathbf{x}^0 = (0 \ 0)^T$  sulla prima retta e si ottiene  $\mathbf{x}^1$
- Si verifica se  $\mathbf{x}^1$  è una soluzione accettabile
- Altrimenti si proietta  $\mathbf{x}^1$  sulla seconda retta
- Si itera finché non si ottiene la soluzione accettabile

# Algoritmo ART

$$Ax = b$$

- Si proietta il punto  $x^0 = (0 \ 0)^T$  sulla prima retta e si ottiene  $x^1$
- Si verifica se  $x^1$  è una soluzione accettabile
- Altrimenti si proietta  $x^1$  sulla seconda retta
- Si itera lungo le righe di  $A$  finché non si ottiene la soluzione accettabile

$$x^0 = (0 \ 0)^T$$

$$x^{(n+1)} = x^{(n)} - \frac{a_i x^{(n)} - b_i}{a_i^2} a_i^T$$

Si ottiene imponendo l'appartenenza di  $x^{(n+1)}$  alla retta definita dalla riga  $i$ -esima del sistema e il prodotto scalare nullo con  $(x^{(n+1)} - x^{(n)})$

$$b^{(n+1)} = Ax^{(n+1)}$$

$$\varepsilon = \|b^{(n+1)} - b\|^2$$

*E' un algoritmo molto usato per trovare una soluzione per un sistema lineare sovradeterminato*



# Registrazione basata su punti e landmark

Supponiamo di avere 2 nuvole  $A$  e  $B$  di  $n$  punti nello spazio. Dobbiamo trovare una rotazione  $\mathbf{R}$  e una traslazione  $\mathbf{t}$  in modo da far coincidere  $A$  e  $B$ .

Detto  $\mathbf{a}$  il vettore di punti  $A$  e  $\mathbf{b}$  il vettore di punti  $B$  occorre trovare la trasformazione  $\mathbf{R}\mathbf{b} + \mathbf{t}$  tale che  $\mathbf{a} \equiv \mathbf{b}$

Supponiamo che il numero di punti sia lo stesso tra  $A$  e  $B$  e di conoscere le corrispondenze tra i punti. Allora dobbiamo minimizzare la distanza tra  $A$  e  $B$  :

$$f = \sum_{i=1}^n \|\mathbf{R}\mathbf{b}_i + \mathbf{t} - \mathbf{a}_i\|^2$$

Nel caso bidimensionale:  $\mathbf{R} = \begin{pmatrix} \cos(\theta) & -\sin(\theta) \\ \sin(\theta) & \cos(\theta) \end{pmatrix} \quad \mathbf{t} = \begin{pmatrix} t_x \\ t_y \end{pmatrix}$

Siccome  $\theta$  è piccolo si ha  $\cos(\theta) = 1$ ;  $\sin(\theta) = \theta$   $\mathbf{R} = \begin{pmatrix} 1 & -\theta \\ \theta & 1 \end{pmatrix}$

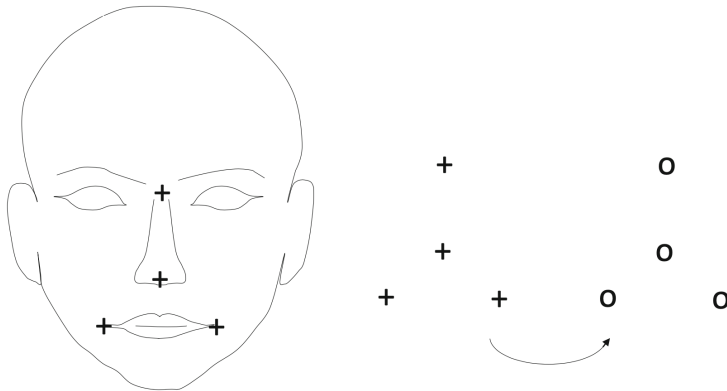
Trovare i valori di  $\theta, t_x, t_y$  che minimizzano  $f$ : si deriva  $f$  rispetto  $\theta, t_x, t_y$  e si pongono le derivate = 0  
Sistema di 3 equazioni in 3 incognite

# Registrazione basata su punti e landmark

Nel caso tridimensionale:

$$\mathbf{R} = \mathbf{D} = \begin{pmatrix} 1 & -\gamma & \beta \\ \gamma & 1 & -\alpha \\ -\beta & \alpha & 1 \end{pmatrix} \quad \mathbf{t} = \begin{pmatrix} t_x \\ t_y \\ t_z \end{pmatrix}$$

*Matrice già impiegata nel calcolo degli angoli ai giunti mediante lo Jacobiano*



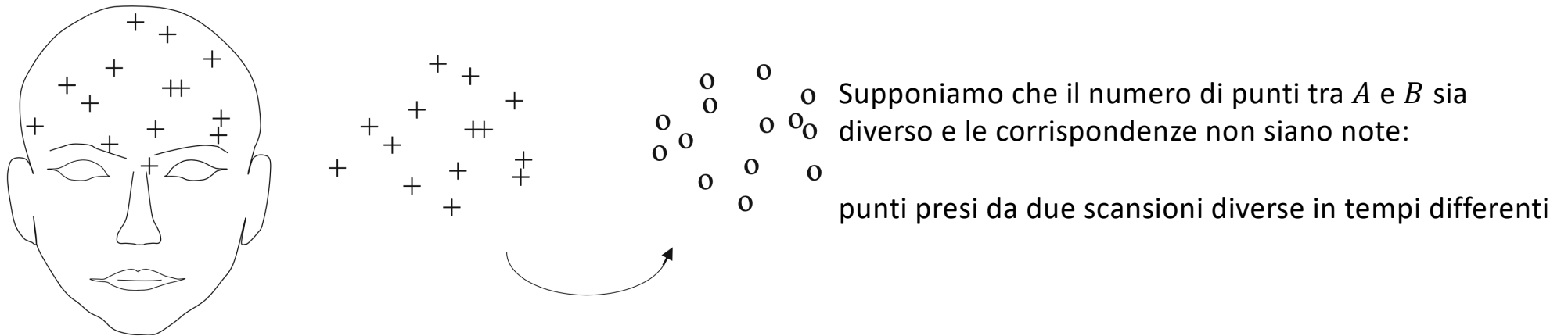
Trovare i valori di  $\alpha, \beta, \gamma, t_x, t_y, t_z$  che minimizzano  $f$ :

si deriva  $f$  rispetto  $\alpha, \beta, \gamma, t_x, t_y, t_z$  e si pongono le derivate = 0

Sistema di 6 equazioni in 6 incognite

Registrazione tra i landmark sul corpo del paziente e i corrispettivi punti su RM per il corretto posizionamento del braccio robotico

# Registrazione basata su punti e landmark



Algoritmo ICP (Iterative Closest Point) per calcolare la corrispondenza  $m$ , la rotazione  $\mathbf{R}$  e la traslazione  $\mathbf{t}$

- Inizialmente  $\mathbf{R} = \mathbf{I}$ ;  $\mathbf{t} = 0$ ; corrispondenza casuale  $m_{new}$  tra  $A$  e  $B$
- Ripeti:
  - $m_{old} = m_{new}$
  - Moving step: dato  $m_{new}$  calcolare  $\mathbf{R}$  e  $\mathbf{t}$
  - Matching step: calcolare  $m_{new}$  dopo aver applicato  $\mathbf{R}$  e  $\mathbf{t}$  a  $B$
- Finchè  $m_{new} = m_{old}$

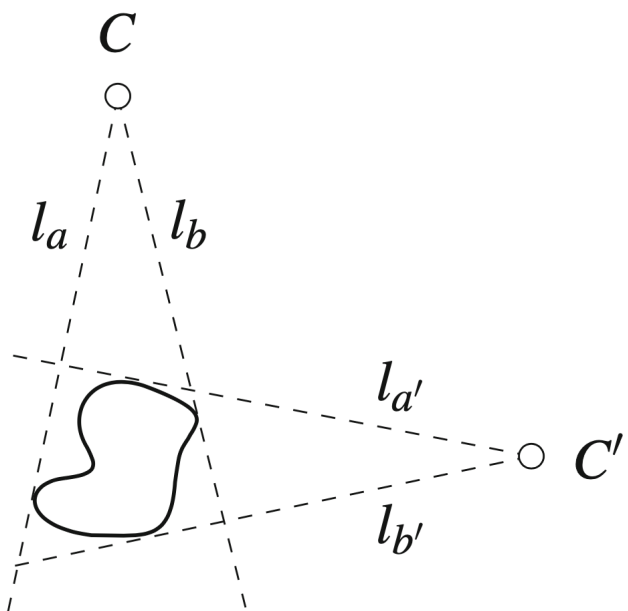
Matching step: per ogni punto  $\mathbf{a} \in A$ , prendere il punto  $\mathbf{b} \in B$  più vicino → *Potrebbe non esserci una corrispondenza 1:1*

# Registrazione basata su contorni

È un'applicazione particolare del caso precedente in cui gli insiemi di punti formano contorni chiusi

Si confrontano 2 immagini, es. RX e RM, e si allineano i rispettivi contorni → *È necessario prima segmentare le immagini*

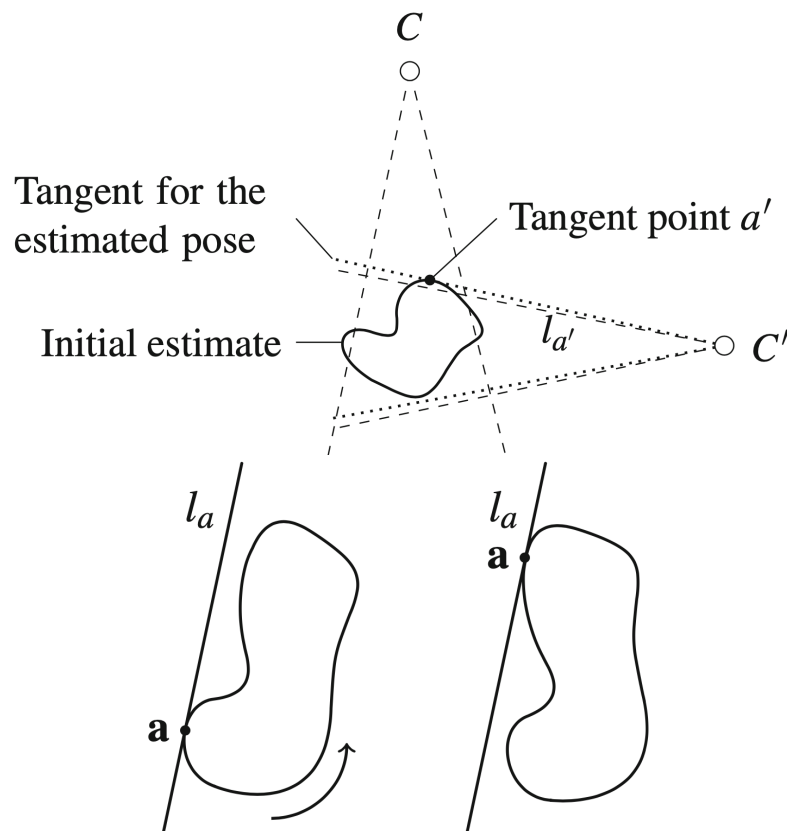
Caso 2D (non significativo per applicazioni pratiche)



Osso ripreso da 2 camere  $C$  e  $C'$  in posizioni note: otteniamo le rette tangenti  $l_a, l_b, l_{a'}, l_{b'}$

Nota una stima iniziale della posizione dell'osso a partire da un volume TAC e note le posizioni delle immagini RX, possiamo stimare i punti di contorno tangenti  $a, b, a', b'$

# Registrazione basata su contorni



Dobbiamo raffinare la stima: trovare una rotazione  $\mathbf{R}$  e una traslazione  $\mathbf{t}$  che spostano la stima della posizione iniziale in modo che  $\mathbf{a}, \mathbf{b}, \mathbf{a}', \mathbf{b}'$  siano i punti tangenti a  $l_a, l_b, l_{a'}, l_{b'}$

Si minimizza la distanza:

$$f(\theta, t_x, t_y) = d(\mathbf{Ra} + \mathbf{t}, l_a)^2 + \dots + d(\mathbf{Rb}' + \mathbf{t}, l_{b'})^2$$

dove  $d(\mathbf{a}, l_a)$  è la distanza del punto  $\mathbf{a}$  dalla retta  $l_a = \mathbf{u} + \lambda(\mathbf{v} - \mathbf{u})$ :

$$d(\mathbf{a}, l_a)^2 = (\mathbf{a} - \mathbf{u} - \lambda_0(\mathbf{v} - \mathbf{u}))^2$$

*Problema: piccole rotazioni di un oggetto irregolare come un osso possono portare a grandi variazioni della posizione dei punti tangenti*

Nel caso 3D invece dei punti tangenti avremo delle curve tangenti, che sono elaborate come insiemi di punti.

Dobbiamo trovare i parametri  $\alpha, \beta, \gamma, t_x, t_y, t_z$  che minimizzano  $f$

# Registrazione basata su intensità

La registrazione diretta pixel a pixel non necessita della conoscenza di punti fiduciali e/o di contorni, ma in genere va effettuata da modalità diagnostiche diverse che hanno differenti dinamiche

CT

1	1	3	3
1	1	3	3
2	2	3	3
2	2	3	3

MR

3	3	3	3
3	3	3	3
1	1	2	2
1	1	2	2

Analisi dell'intensità dei pixel da 2 sorgenti diverse:  
Rotazione di RM di 90°

CT

1	1	3	3
1	1	3	3
2	2	3	3
2	2	3	3

MR

2	2	2	2
2	2	2	2
3	3	1	1
3	3	1	1

In questo caso, è necessaria una corrispondenza tra i valori dei pixel:

CT	MR
1	3
2	1
3	2

# Mutua informazione

La mutua informazione è una misura di quanto i valori di una variabile statistica  $A$  possano essere predetti osservando i valori di un'altra variabile statistica  $B$

Si definisce probabilità congiunta  $p_{AB}(a, b)$  la probabilità che la variabile  $A$  assuma il valore  $a$  e che contemporaneamente la variabile  $B$  assuma il valore  $b$

La mutua informazione si definisce come:

$$I(A, B) = \sum_{a,b} p_{AB}(a, b) \log \frac{p_{AB}(a, b)}{p_A(a)p_B(b)}$$

Se  $A$  e  $B$  sono statisticamente indipendenti allora  $p_{AB}(a, b) = p_A(a)p_B(b)$  e  $I(A, B) = 0$

Immagini uguali

A		B	
0	1	0	1
1	0	1	0

$$\begin{aligned}
 p_A(0) &= 0.5 \\
 p_A(1) &= 0.5 \\
 p_B(0) &= 0.5 \\
 p_B(1) &= 0.5
 \end{aligned}$$

$$\begin{aligned}
 p_{AB}(0,0) &= 0.5 && \leftarrow \text{La probabilità che un pixel di } A \\
 p_{AB}(1,1) &= 0.5 && \text{sia 0 e il corrispondente} \\
 p_{AB}(0,1) &= 0 && \text{pixel di } B \text{ sia 0 è pari a 0.5} \\
 p_{AB}(1,0) &= 0 && \leftarrow \text{La probabilità che un pixel di } A \\
 &&& \text{sia 0 e il corrispondente} \\
 &&& \text{pixel di } B \text{ sia 1 è pari a 0}
 \end{aligned}$$

$$I(A, B) = 1$$

Immagini opposte

A		B	
0	1	1	0
1	0	0	1

$$I(A, B) = 1$$

La perfetta inversione dei livelli di grigio di *A* *indica comunque un elevato grado di ordine* nella relazione rispetto a *B* e quindi una elevata predicibilità di una rispetto all'altra.

Immagini simili

A		B	
0	1	0	1
1	0	1	1

$$I(A, B) = 0.32$$

Allineare due immagini significa renderle massimamente simili e quindi cercare di *massimizzare*  $I(A, B)$



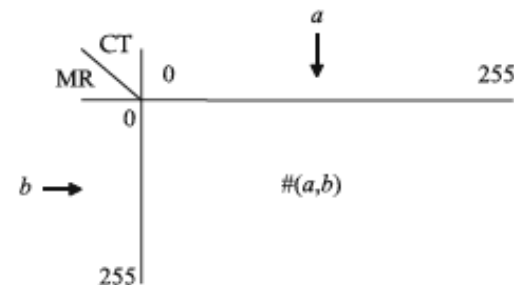
# Registrazione basata su mutua informazione

Supponiamo che l'immagine  $A$  (es. TAC) e l'immagine  $B$  (es. RM) siano a 256 livelli di grigio

Approssimazione di  $p_A$  e  $p_B$ : si costruiscono gli istogrammi per  $A$  e per  $B$ :  
$$\begin{matrix} 0 \\ 1 \\ \vdots \\ 255 \end{matrix} \begin{bmatrix} n.\text{pixel } 0 \\ n.\text{pixel } 1 \\ \vdots \\ n.\text{pixel } 255 \end{bmatrix}$$
 e si normalizza

Approssimazione di  $p_{AB}$ : istogramma congiunto, matrice quadrata

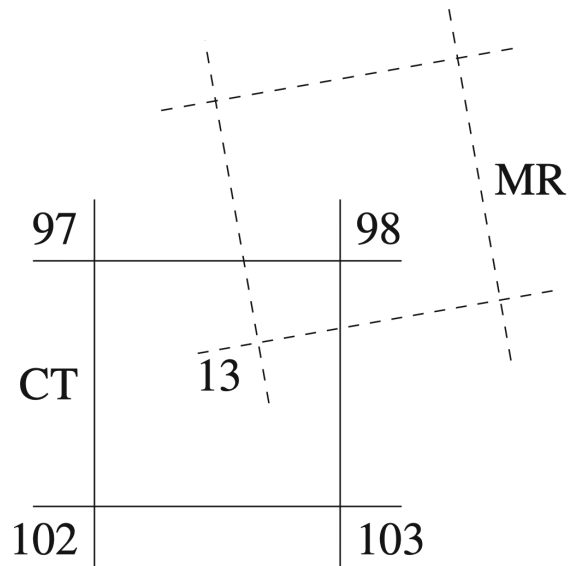
Si sovrappongono le 2 immagini. Per ogni coppia di pixel con livelli di grigio  $(a, b)$  si incrementa di 1 l'elemento  $(a, b)$  dell'istogramma congiunto. Alla fine si normalizza.



# Registrazione basata su mutua informazione

Si muove ad esempio l'immagine  $B$  (floating) rispetto l'immagine  $A$  (reference) per massimizzare  $I(A, B)$

Registrazione: trovare i parametri di rotazione e traslazione  $\alpha, \beta, \gamma, t_x, t_y, t_z$  di  $B$  che massimizzano  $I(A, B)$

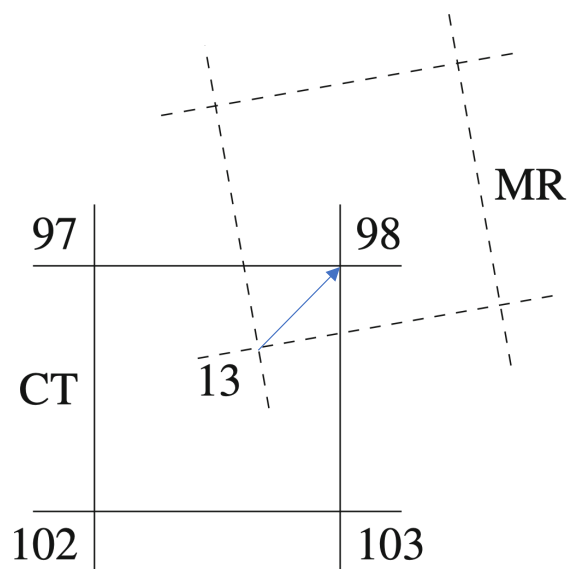


Necessità di effettuare interpolazioni quando le immagini non sono perfettamente allineate

# Registrazione basata su mutua informazione

Si muove ad esempio l'immagine  $B$  (floating) rispetto l'immagine  $A$  (reference) per massimizzare  $I(A, B)$

Registrazione: trovare i parametri di rotazione e traslazione  $\alpha, \beta, \gamma, t_x, t_y, t_z$  di  $B$  che massimizzano  $I(A, B)$

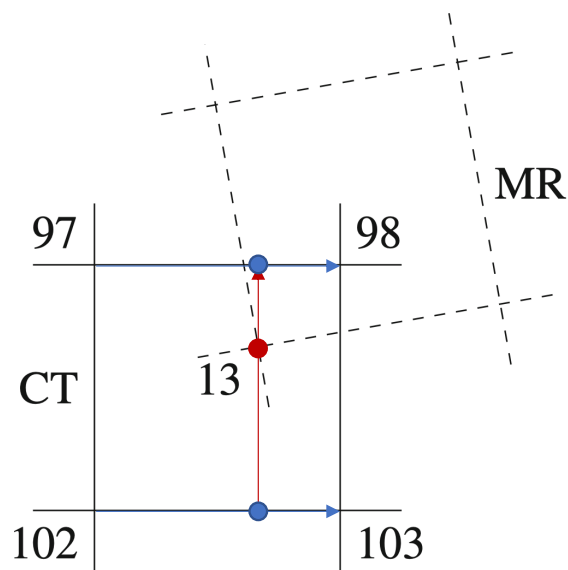


Nearest Neighbor: la coppia  $(a, b)$  è data dai voxel più vicini

# Registrazione basata su mutua informazione

Si muove ad esempio l'immagine  $B$  (floating) rispetto l'immagine  $A$  (reference) per massimizzare  $I(A, B)$

Registrazione: trovare i parametri di rotazione e traslazione  $\alpha, \beta, \gamma, t_x, t_y, t_z$  di  $B$  che massimizzano  $I(A, B)$

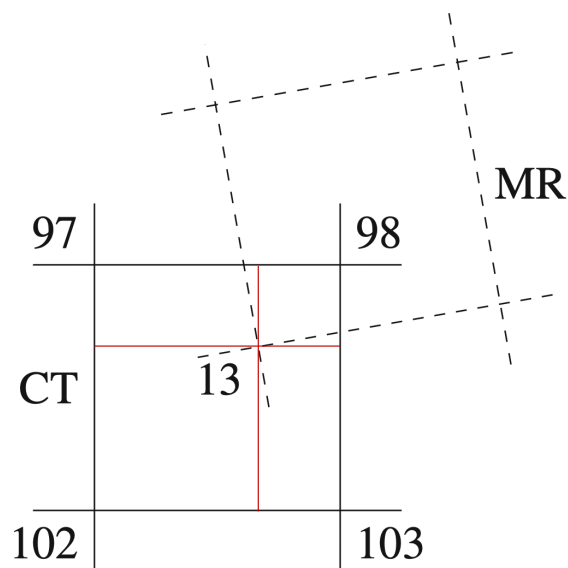


Interpolazione Trilineare: la coppia  $(x, b)$  è ottenuta interpolando linearmente i valori degli otto vicini di  $b$  separatamente lungo le tre dimensioni del voxel

# Registrazione basata su mutua informazione

Si muove ad esempio l'immagine  $B$  (floating) rispetto l'immagine  $A$  (reference) per massimizzare  $I(A, B)$

Registrazione: trovare i parametri di rotazione e traslazione  $\alpha, \beta, \gamma, t_x, t_y, t_z$  di  $B$  che massimizzano  $I(A, B)$



Interpolazione ai volumi parziali: la coppia  $(x, b)$  è ottenuta pesando i valori degli otto vicini di  $b$  ciascuno con un peso che è l'inverso del volume del parallelepipedo ottenuto in cui  $b$  e il singolo vicino formano la diagonale principale

# Deformazione dell'immagine

La registrazione vista finora è rigida, ovvero basata su una trasformazione affine.

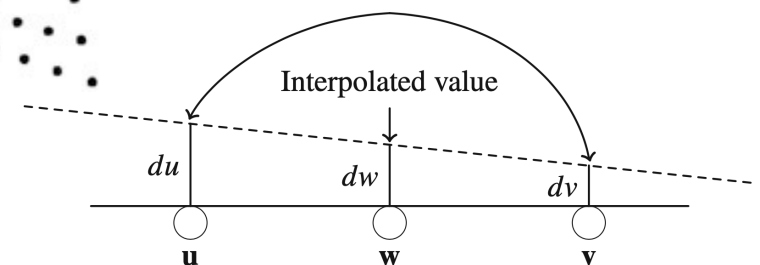
L'acquisizione delle immagini mediche può generare distorsioni.

Le patologie investigate possono generare una deformazione tra le strutture che devono essere allineate per cui è necessaria una registrazione di tipo elastico.



Supponiamo di avere una griglia  $G$  e una griglia deformata  $G'$

Inizialmente si ha un allineamento approssimato tramite landmark e poi si deforma  $G$ :



Nota la corrispondenza tra i punti, si vede che  $u$  deve essere spostato di  $du$  e  $v$  di  $dv$ .

Interpolazione **bilineare**: il generico punto intermedio  $w$  sarà spostato di  $dw$  ottenuto come interpolazione lineare separata tra gli scostamenti di  $u$  e  $v$  separatamente lungo  $x$  e  $y$ .

# Interpolazione per spline cubiche

L'interpolazione bilineare produce una funzione di deformazione che non varia dolcemente punto a punto. Si preferisce descrivere le funzioni di scostamento con delle leggi cubiche i cui parametri si ricavano con il cosiddetto metodo Gaussian Least Squares a partire da un insieme di landmark.

$$a_0 + a_1x + a_2y + a_3xy + a_4x^2 + a_5y^2 + a_6x^2y + a_7xy^2 + a_8x^3 + a_9y^3 \quad \text{Spostamento lungo } x$$

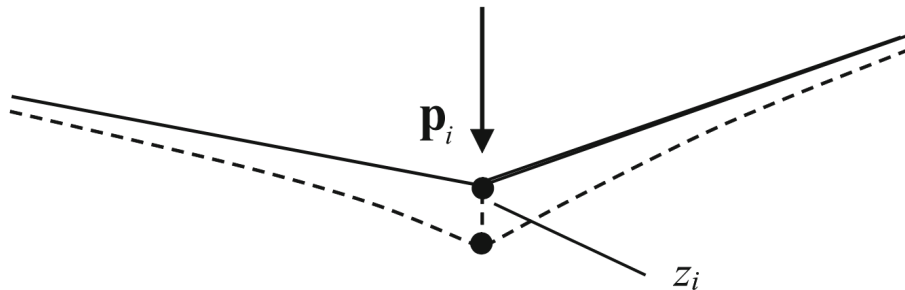
$$b_0 + b_1x + b_2y + b_3xy + b_4x^2 + b_5y^2 + b_6x^2y + b_7xy^2 + b_8x^3 + b_9y^3 \quad \text{Spostamento lungo } y$$

Dato il punto  $(x_m, y_m)$  della griglia  $G$  non deformata e il punto  $(x_d, y_d)$  della griglia deformata  $G'$  dobbiamo trovare i parametri  $a_0, a_1, \dots, a_9, b_0, b_1, \dots, b_9$  che minimizzano:

$$SSD = \sum_i \left\| (x_{m,i}, y_{m,i})^T - (a_0 + a_1x_{d,i} + \dots + a_9y_{d,i}^3, b_0 + b_1x_{d,i} + \dots + b_9y_{d,i}^3)^T \right\|^2$$

La minimizzazione si ottiene ponendo  $\frac{\partial SSD}{\partial a_0} = 0, \frac{\partial SSD}{\partial a_1} = 0, \dots, \frac{\partial SSD}{\partial b_9} = 0$  e si ottengono 20 equazioni in 20 incognite

# Thin-plate spline



L'interpolazione cubica fornisce una legge di deformazione che varia dolcemente, ma non tiene conto delle possibili cause fisiche della deformazione.

Nella thin-plate spline interpolation si ipotizza di deformare una superficie piana sottile mediante una forza verso il basso: il punto di controllo noto  $\mathbf{p}_i$  si sposta di  $z_i$  per effetto della forza

La superficie deformata sarà descritta da:

$$f(\mathbf{p}) = \sum_{i=1}^N w_i F(\|\mathbf{p} - \mathbf{p}_i\|)$$

dove i  $\mathbf{p}_i$  sono i punti di controllo  $(x_i, y_i)^T$  della griglia deformata e  $F(\cdot)$  è una funzione kernel che descrive la deformazione puntuale e che tipicamente si sceglie  $F(r) = r^2$  (l'influenza di  $\mathbf{p}_i$  decresce all'aumentare della distanza)

I parametri da trovare sono le  $w_i$ : sistema da  $N$  equazioni in  $N$  incognite (punti della griglia)

Estensione per considerare anche lo scostamento traslazionale (parametri  $a_0, a_1, a_2$ ):

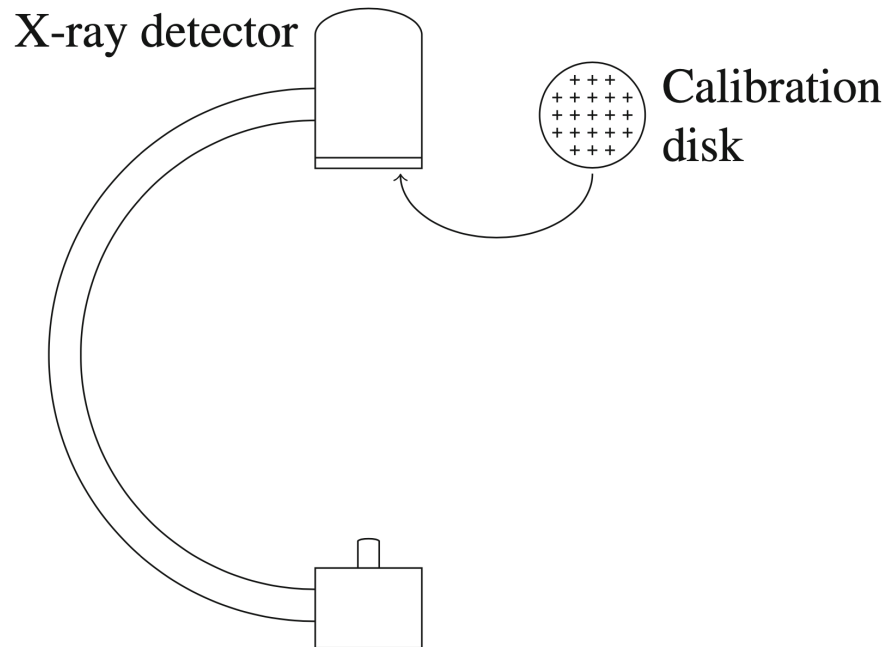
$$f(\mathbf{p}) = \sum_{i=1}^N w_i F(\|\mathbf{p} - \mathbf{p}_i\|) + a_0 + a_1 x + a_2 y$$

$$\sum_{i=1}^N w_i = 0; \quad \sum_{i=1}^N w_i x_i = 0; \quad \sum_{i=1}^N w_i y_i = 0;$$

*Vincoli per gestire il sistema di equazioni che è indeterminato*



# Esempio



Il campo magnetico terrestre influenza la traiettoria dei raggi X inducendo una deformazione dell'immagine

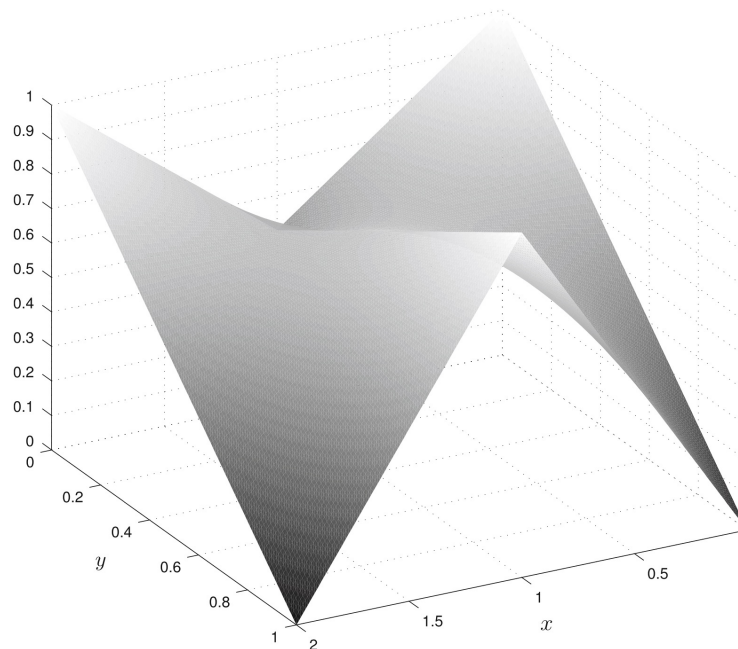
Il disco di calibrazione fornisce  $G$  e la proiezione di  $G$  sull'immagine fornisce  $G'$

*N.B. la legge di deformazione cambia quindi con la rotazione del braccio a C!!*

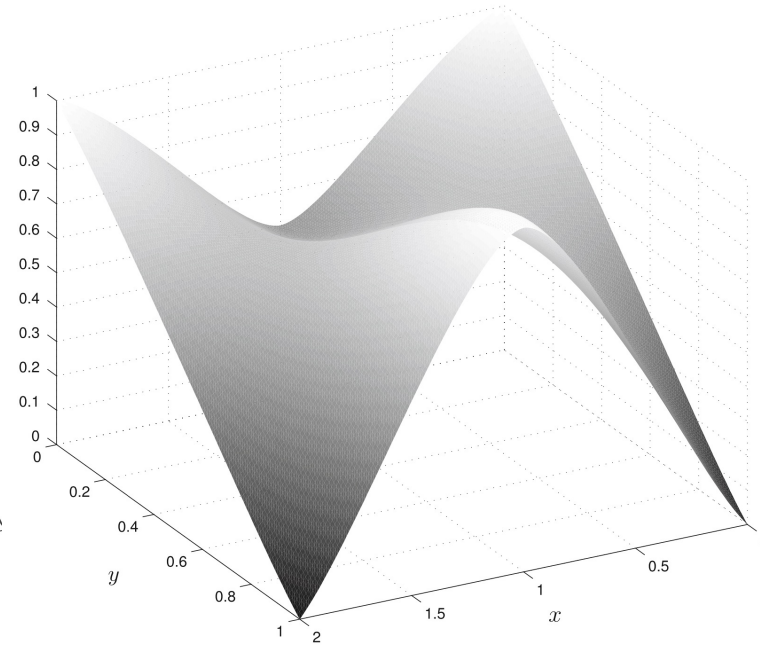
Trovare la funzione che interpola  $G'$  per riottenere  $G$

# Esempio

Punti	Scostamenti
(0,0)	1
(1,1)	1
(1,0)	0.5
(0,1)	0
(2,1)	0
(0,2)	1



Interpolazione bilineare



Thin-plate spline

# Calibrazione «occhio-mano»

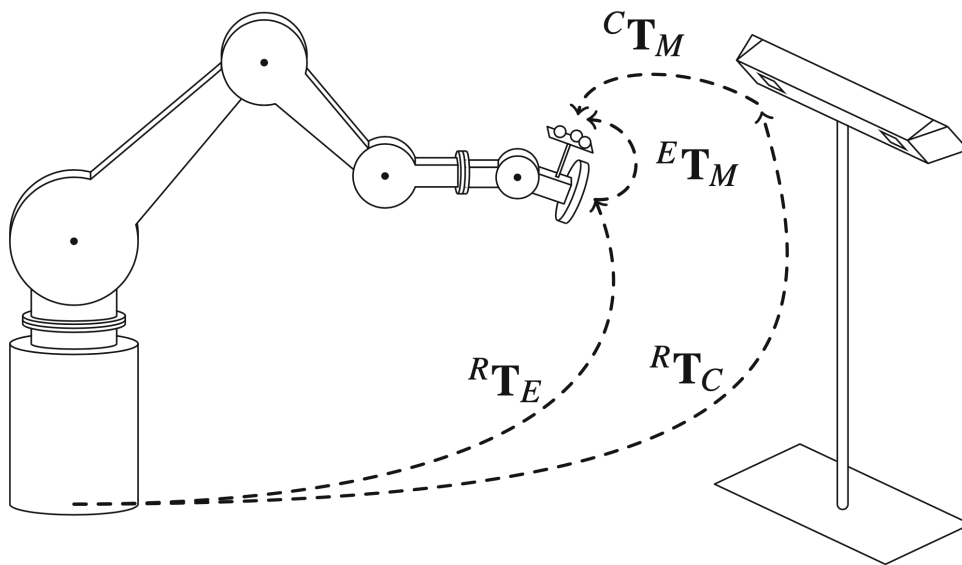
Si consideri la seguente operazione per guidare un trapano osseo:

- Il chirurgo individua il punto dell'osso da trapanare con il puntatore del sistema di tracciamento
- Si calcolano gli angoli ai giunti del braccio
- Il braccio si muove
- Si effettua l'operazione con trapano

Il robot calcola la sua posizione e orientazione rispetto al proprio sistema di coordinate, ma necessitiamo di conoscere questa posizione nel sistema della coppia puntatore/telecamera:

*Problema di calibrazione*

# Calibrazione «occhio-mano»



Marker  $M$  solidale all'effettore  $E$   
 $C$  è la camera e  $R$  è la base del robot

Matrici in gioco:

$\mathbf{T}_E^R$  Dalla base del robot all'effettore

$\mathbf{T}_M^E$  Dall'effettore al marker

$\mathbf{T}_C^R$  Dalla base del robot alla camera

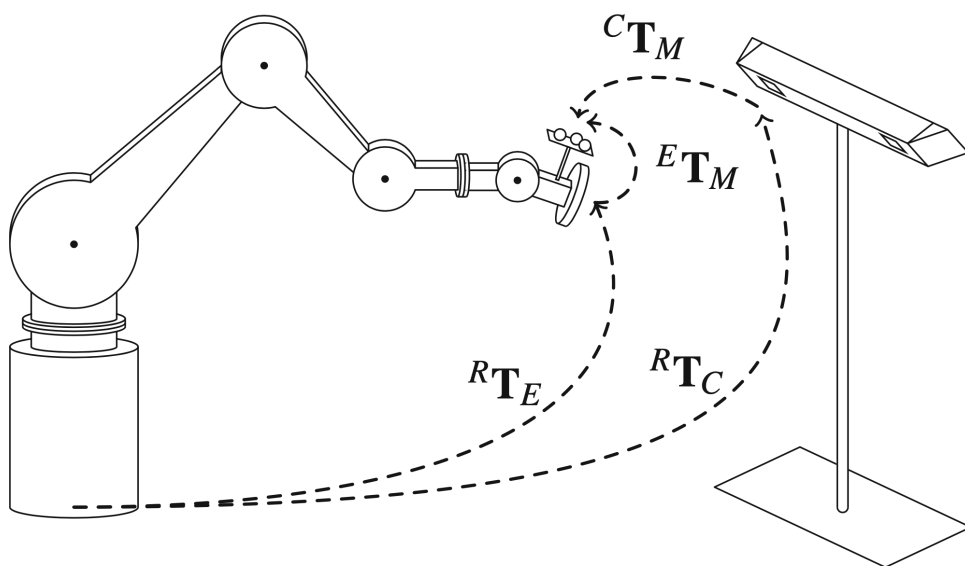
$\mathbf{T}_M^C$  Dalla camera al marker

$\mathbf{T}_E^R$  è nota dalla cinematica del robot

$\mathbf{T}_M^C$  è nota dal sistema di tracciamento

**Le altre due matrici non sono note**

# Calibrazione «occhio-mano»



La posizione del marker  $M$  è la stessa sia dal punto di vista del robot che dal punto di vista della camera:

$${}^R\mathbf{T}_E \cdot {}^E\mathbf{T}_M = {}^R\mathbf{T}_C \cdot {}^C\mathbf{T}_M$$

Equazione matriciale del tipo  $\mathbf{AX} = \mathbf{YB}$  con incognite  $\mathbf{X}, \mathbf{Y}$

Muoviamo il robot in  $n$  posizioni diverse:

$$\mathbf{A}_i \mathbf{X} = \mathbf{Y} \mathbf{B}_i, \quad i = 1, \dots, n$$

possiamo scrivere:  $\mathbf{A}_i \mathbf{X} \mathbf{B}_i^{-1} = \mathbf{Y}$

Le incognite  $\mathbf{X}, \mathbf{Y}$  sono matrici di rototraslazione a 12 parametri incogniti.

Per  $n > 2$  abbiamo un sistema di  $12n$  equazioni a 24 incognite.

**Sistema sovradeterminato: si risolve con ART**